

# ТЕРМОМАГНИТНЫЕ ЭФФЕКТЫ В МОНОКРИСТАЛЛЕ ХРОМА ПРИ ТЕМПЕРАТУРАХ 135–295 К

© В.С. Головкин

Физико-энергетический институт,  
249020 Обнинск, Калужская обл., Россия

(Поступила в Редакцию 21 ноября 1994 г.

В окончательной редакции 9 ноября 1995 г.)

На монокристалле хрома с высокой чувствительностью магнитной структуры к криомагнитному охлаждению оценено влияние анизотропии на эффективность действия магнитного поля 2.7 Т на модуляции волн спиновой плотности в стационарных условиях (135–295 К) и в процессе нагрева от 220 К. Исследовано поведение созданного нагревом в поле от 220 до 270 К частичного уровня ( $1-Q$ )-состояния при повышении температуры от 270 К.

Магнитное состояние хрома описывается, как известно, линейными статическими волнами спиновой плотности (ВСП), волновые векторы которых  $\mathbf{Q}_i$  ( $i = x, y, z$ ) совпадают с направлением главных кристаллографических осей. В интервале от точки Нееля ( $T_N = 311$  К) до температуры опрокидывания спина ( $T_F = 120$  К) поляризация ВСП поперечная относительно соответствующих векторов  $\mathbf{Q}_i$ , а ниже  $T_F$  она продольная. Выше  $T_F$  реальный кристалл хрома состоит из трех основных типов антиферромагнитных доменов, в каждом из которых одно направление модуляции ВСП (домены модуляции), а в идеальном образце должны находиться домены только одного типа. Такое одномодуляционное ( $1-Q$ )-состояние формируется с помощью магнитных полей  $\mathbf{H}$  или направленных напряжений.

В [1] на монокристалле хрома с неэквивалентным распределением по объему доменов трех модуляций (при 295 К  $Q_x:Q_y:Q_z = 42:33:25$ ) проводилась оценка действия поля 2.7 Т вдоль избранного волнового вектора ( $\mathbf{Q}_i \parallel \mathbf{H}$ ) на меньшую, незначительно изменяющую свой объем при свободном охлаждении модуляцию  $Q_z$  (кривая 1 на рис. 1,а) в стационарных условиях (210–308 К) и в процессе нагрева от 210 К. В первом случае вопреки мнению о незначительном влиянии магнитного поля при постоянных температурах [2] в довольно широком диапазоне около 270 К отмечено в несколько раз более эффективное его действие, чем при 295 К, где объем модуляции увеличивался примерно на 30% (кривая 4 на рис. 1,а). Эффект около 270 К наблюдался на кристаллах, на которых криомагнитное (КМ) охлаждение (в поле от 295 до

230 K) вдоль избранного вектора  $\mathbf{Q}_z$  обеспечивало более высокий уровень приближения к полному  $(1-Q)$ -состоянию [3], чем известное охлаждение в магнитном поле через  $T_N$  [4]. Если КМ-охлаждение по эффективности существенно уступало способу охлаждения в поле через  $T_N$ , то в таких образцах эффект в окрестностях 270 K не проявлялся. В случае нагрева кристалла в  $\mathbf{H}$  от 210 до 270 K обнаружено увеличение объема избранной модуляции (кривая 3 на рис. 1,*a*) до уровня ( $\approx 69\%$ ), который достигался в процессе КМ-охлаждения от 295 до 270 K (кривая 2 на рис. 1,*a*), и последующее его уменьшение при дальнейшем повышении температуры образца. Значит, с изменением знака происходило, как мы предполагали, замедление доменной перестройки, и в итоге в условиях комнатной температуры достигалось меньшее приближение к  $(1-Q)$ -состоянию, чем в результате соответствующего КМ-охлаждения ( $\approx 81\%$ ).

Для расширения представлений о свойствах обнаруженных в [1] эффектов следовало 1) оценить влияние исходного состояния модуляций на эффект действия магнитного поля в стационарных условиях (135–295 K) и в случае нагрева от 220 K (эквивалентного нагреву от 210 K); 2) исследовать поведение созданного нагревом в  $\mathbf{H}$  частичного уровня  $(1-Q)$ -состояния при последующем повышении температуры образца от 270 до 295 K в поле и без него; 3) определить критическое поле ( $H_k$ ), при котором в окрестностях 270 K начинается поворот векторов  $\mathbf{Q}_i$  вдоль направления  $\mathbf{H}$ .

## 1. Методика и эксперимент

Опыты проводились в магнитном поле 2.7 T на иодидном монокристалле ( $T_N = 310.0 \pm 0.2$  K), исследованном в [1]. Контроль за изменением состояния модуляций осуществлялся нейтронографически по поведению интенсивностей  $I$  магнитных рефлексов типа  $(1 - \delta, 0, 0)$ . Условия каждого опыта в присутствии  $\mathbf{H}$  позволяли наблюдать только одну избранную модуляцию и по ней судить о поведении двух других. Степень перехода образца в  $(1-Q)$ -состояние оценивалась после соответствующей термомагнитной обработки при комнатной температуре по отношению интенсивности рефлекса одной из подавляемых модуляций к интенсивности аналогичного сателлита избранной модуляции ( $I = I_{\text{sup}}/I_{\text{sel}}$ ) или по изменению доли (в %) избранной модуляции в объеме образца.<sup>1</sup> Точность измерения интенсивности рефлекса равнялась  $\approx 8\text{--}10\%$ , а в некоторых опытах повышалась до  $\approx 3\text{--}4\%$ .

Для оценки влияния анизотропии на отмеченные в [1] эффекты в работе изучалось действие  $\mathbf{H}$  на меньшую модуляцию  $Q_z$  в стационарных условиях в интервале температур 135–220 K (кривая 4 на рис. 1,*a*), такое же действие магнитного поля в диапазоне 135–295 K и влияние процесса нагрева в поле от 220 K на среднюю ( $Q_y$ ) и самую большую модуляцию  $Q_x$  (рис. 1,*b*, *c*, кривые 4 и 3 соответственно), объемы которых в отличие от объема модуляции  $Q_z$  увеличивается при свободном охлаждении образца (кривые 1 на рис. 1,*b*, *c*). Кривые 2 на рис. 1,*b*, *c*

<sup>1</sup> Для идеальных  $(3-Q)$ - и  $(1-Q)$ -состояний  $I$  равно единице и нулю соответственно. За полное  $(1-Q)$ -состояние принято считать состояние, где  $I \leq 0.08$ .

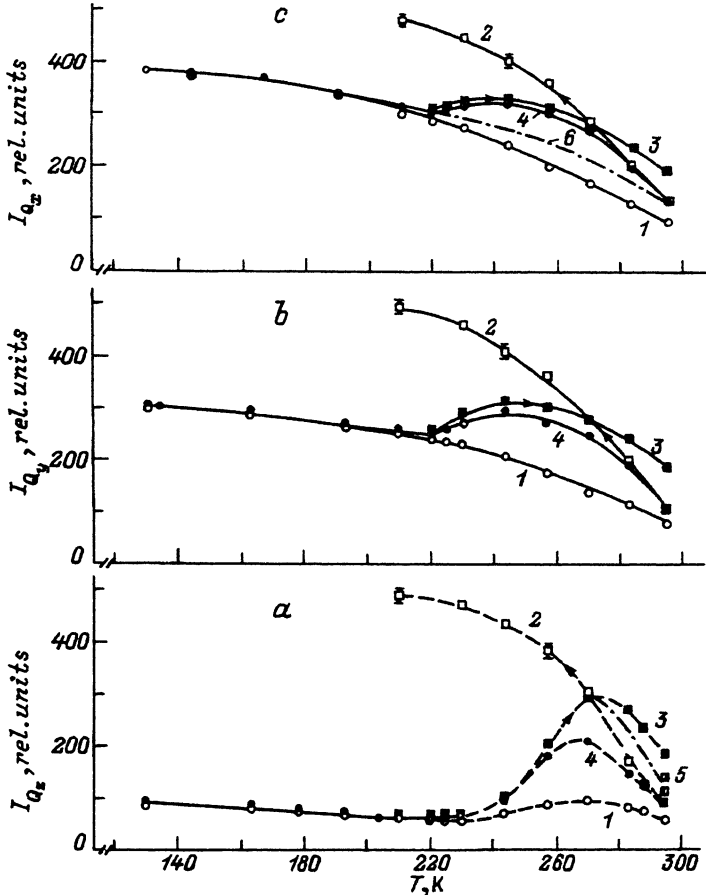


Рис. 1. Поведение модуляций  $Q_z$  (а) (штриховые линии — данные [1]),  $Q_y$  (б) и  $Q_x$  (с).

1 — свободное охлаждение: линии — усредненные значения без приведения экспериментальных точек, а каждая из представленных точек получена после очередного нагрева выше  $T_N$ , 2 — КМ-охлаждение, 3 — нагрев в поле, 4 — действие поля при фиксированных температурах, соответствующих экспериментальным точкам зависимостей 1, 5 — свободный нагрев после снятия поля ( $\mathbf{H} \parallel \mathbf{Q}_z$ ) при 270 К, 6 — свободный нагрев от 220 К (модуляция  $Q_x$ ), А — после снятия  $\mathbf{H} \parallel \mathbf{Q}_z$  при 295 К.

показывают увеличение объемов модуляций  $Q_y$  и  $Q_x$  соответственно под действием КМ-охлаждения от 295 до 230 К, т.е. процесс формирования в кристалле довольно глубокого приближения к  $(1-Q_y)$ - и  $(1-Q_x)$ -состояниям ( $I_{Q_x}/I_{Q_y}$  и  $I_{Q_y}/I_{Q_x} \approx 0.08-0.10$  или до  $\approx 81\%$ ). Как и в [1], с целью учета флуктуаций магнитной анизотропии после каждого нагрева и свободного охлаждения через  $T_N$  все измерения на модуляциях приводились к соответствующим данным зависимостей 1 на рис. 1, а-с.

Исследование поведения созданного нагревом в поле от 220 К частичного (до  $\approx 69\%$ ) уровня  $(1-Q)$ -состояния при температурах выше 270 К проводилось на модуляции  $Q_z$  в следующих двух опытах. Предварительно свободно охлажденный кристалл нагревался в  $\mathbf{H} \parallel \mathbf{Q}_z$  от

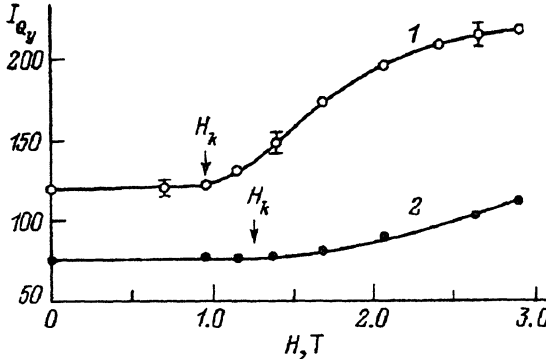


Рис. 2. Действие поля на модуляцию  $Q_y$ .

T (К): 1 — 270, 2 — 295.

220 до 295 К. Затем после снятия нагревом и свободным охлаждением через  $T_N$  наведенного полем магнитного состояния кристалл нагревался в  $\mathbf{H}$  от 220 до 270 К, а далее до 295 К уже без поля. В первом опыте контроль за состоянием модуляции проводился в присутствии поля при 270 К, а при 295 К в поле и без него. Данные первых двух измерений совпадают при соответствующих температурах с данными кривой 3 на рис. 1,а (в процессе многократных измерений значение  $I_{Q_z}$  для 270 К принималось за мониторное), а результат третьего измерения, отражающий в сочетании со вторым величину магнитного гистерезиса при комнатной температуре, показан отдельной экспериментальной точкой (A), расположенной ниже кривой 3. Во втором опыте состояние модуляции фиксировалось в поле и без него при 270 К и без поля при 295 К. Результаты обоих измерений при 270 К оказались практически равными. Через эту экспериментальную точку и точку, измеренную при комнатной температуре, проведена кривая 5, характеризующая уменьшение объема модуляции  $Q_z$  при свободном нагреве от 270 К. В опытах без поля при 270 и 295 К параллельно с избранной контролировалась и модуляция  $Q_y$ .

Чувствительность векторов  $\mathbf{Q}_i$  к действию магнитного поля при 270 К определялась по полевой зависимости интенсивности радиального рефлекса модуляции  $Q_y$ , и для учета возможных особенностей строения исследуемого образца такая же зависимость измерялась и в условиях комнатной температуры (рис. 2).

## 2. Результаты и обсуждение

Как следует из полученных здесь и приведенных на рис. 1,а данных из [1], на исследованном образце поле 2.7 Т практически не влияет (точность  $\approx 3\text{--}4\%$ ) на состояние всех трех модуляций в стационарных условиях в интервале температур 135–220 К. При 225 К увеличение объема каждой модуляции при соответствующем направлении  $\mathbf{H}$  достигало уже 8–10%, а в окрестностях 230 К — 15–17%, и далее с ростом температуры эффект действия поля на модуляции  $Q_y$  и  $Q_x$  в целом подобен определенному в [1] для модуляции  $Q_z$ . Но если при 270 К объем модуляции  $Q_z$  под влиянием  $\mathbf{H}$  увеличивался по сравнению с исходным состоянием на  $\approx 124\%$ , то объемы модуляций  $Q_y$  и  $Q_x$  увеличивались

только на  $\approx 75$  и  $\approx 58\%$  соответственно. В случае большего исходного объема модуляции  $Q_x$ , полученного при свободном нагреве от 220 К (кривая 6 на рис. 1,с), эффект действия поля составил в районе 270 К всего  $\approx 24\%$ , но при этом объем модуляции  $Q_x$  достиг практически такой же величины, как и при действии  $\mathbf{H}$  на ее меньшее исходное значение.

Поведение модуляции  $Q_y$  в процессе нагрева в магнитном поле от 220 К (кривая 3 на рис. 1,б) в целом подобно наблюдаемому в [1] для модуляции  $Q_z$  (кривая 3 на рис. 1,а), но величина эффекта при всех температурах меньше, чем на модуляции  $Q_z$ , и ненамного превосходит эффект действия  $\mathbf{H}$  в стационарных условиях (температурная зависимость объема модуляции  $Q_y$  при свободном нагреве от 220 К расположена незначительно выше зависимости при свободном охлаждении и на рис. 1,б не приведена). И еще меньшая величина эффекта при нагреве в поле выше 220 К по сравнению с модуляцией  $Q_z$  проявилась на самой большой по объему модуляции  $Q_x$  (кривая 3 на рис. 1,с). При этом на каждой из модуляций  $Q_y$  и  $Q_x$ , как и на модуляции  $Q_z$ , при 270 К достигнут такой же уровень приближения к  $(1-Q)$ -состоянию (около  $\approx 69\%$ ), что и при КМ-охлаждении от 295 до 270 К (пересечение кривых 2 и 3 на рис. 1,б и с). Нагрев в поле от 220 до 295 К сформировал (в присутствии  $\mathbf{H}$ ) объемы модуляций  $Q_y$  и  $Q_x$ , меньшие по сравнению со значениями при 270 К и практически равные наблюдаемому в этих же условиях при 295 К для модуляции  $Q_z$ .

Исследование поведения увеличенной нагревом в поле от 220 К избранной модуляции  $Q_z$  при повышении температуры от 270 до 295 К показало, что 1) снятие поля при 270 К не влияет на объем модуляции  $Q_z$ , а следовательно,  $Q_y$  и  $Q_x$ , т.е. магнитный гистерезис здесь равен нулю; 2) уменьшенный примерно вдвое нагревом в  $\mathbf{H}$  от 270 К объем модуляции  $Q_z$  в районе 295 К после снятия поля дополнительно сокращается примерно на 19% (эффект магнитного гистерезиса, несколько уступающий эффекту действия  $\mathbf{H}$  в условиях этой же температуры). Но и он оказался примерно на 12% больше объема модуляции  $Q_z$ , полученного при 295 К после свободного нагрева от 270 до 295 К частичного уровня  $(1-Q)$ -состояния (кривая 5 на рис. 1,а). Эти результаты говорят о более высоком расположении интервала кривой 3 выше 270 К и экспериментальной точки A, характеризующей объем модуляции  $Q_z$  при 295 К после снятия поля, над соответствующим участком бриллюэновской кривой. Из этих данных и анализа соотношения объемов доменов трех модуляций при 295 К в присутствии  $\mathbf{H}$  следует, что при продолжении нагрева в поле от 270 до 295 К, несмотря на бриллюэновское падение намагниченности, происходит дальнейшее увеличение объема избранной модуляции по сравнению с двумя другими ( $\approx 69$  до  $\approx 81\%$ ). Значит, при полном нагреве в поле от 220 до 295 К достигается такое же приближение к  $(1-Q_z)$ -состоянию, что и при КМ-охлаждении от 295 до 230 К. Снятие поля при 295 К приводит к уменьшению доли избранной модуляции (до  $\approx 66\%$ ) и росту объемов двух других, т.е. к понижению уровня  $(1-Q_z)$ -состояния практически до предела, достигаемого нагревом в  $\mathbf{H}$  от 220 до 270 К.

Как видно из рис. 2, в окрестностях 270 К критическое поле, при котором начинается поворот векторов  $\mathbf{Q}_i$  вдоль направления  $\mathbf{H}$ , оказалось несколько меньше ( $\approx 0.95$  Т), чем значение  $H_k$  при комнатной

температуре ( $\approx 1.25$  К), удовлетворительно совпадающее с данными [5]. При 270 К в полях более  $\approx 2.0$  Т наблюдалось стремление к насыщению, отсутствующее в условиях 295 К.

Приведенные выше результаты показывают, что заметное действие **H** на модуляции в стационарных условиях исчезает с понижением температуры от 270 К не в районе наиболее обсуждаемого значения 230 К, где соответствующий направлению волнового вектора параметр  $\varepsilon_Q$  изменяет знак [6] и, как предполагалось в [2], на кривой энергии магнитокристаллической анизотропии имеется дополнительный минимум, а, скорее всего, при температуре, при которой параметр  $\varepsilon_Q$  и связанный с направлением спина параметр  $\varepsilon_S$  равны ( $\approx 222$  К). Совпадение температур исчезновения эффективного действия поля и равенства параметров  $\varepsilon_Q$  и  $\varepsilon_S$  является, на наш взгляд, прямым экспериментальным подтверждением активной роли спиновой компоненты магнитострикции при  $T > 222$  К в процессе силовой доменной перестройки [2].

Данные о незначительном влиянии магнитного поля в стационарных условиях при  $T < 222$  К на исследованном здесь образце находятся в некотором противоречии с результатами наших ранних опытов на подобной кристалле тоже с наличием резкой анизотропии [7], где при измерении полевых зависимостей объемов двух модуляций в районе 173 К эффект действия **H** на меньшей модуляции достигал  $\approx 20\%$  и, очевидно, уменьшался с увеличением исходного объема модуляции. Эти расхождения не находят пока обоснованной интерпретации. Однако можно предположить, что они связаны с проявлением неуставленных особенностей изменения магнитной анизотропии.

Влияние магнитного поля как в стационарных условиях, так и в процессе нагрева от 220 К зависит от исходного объема модуляций (большее на меньшем и меньшее на большем). При этом в соответствии с высказанным в [7] предположением как в стационарных условиях, так и в процессе нагрева от 220 К под действием поля определенной величины объем избранной модуляции увеличивается до примерно одинакового в каждом случае предельного уровня, который не зависит от величины исходного объема модуляции, но зависит от температуры приложения **H**. Некоторое отличие предельного уровня в стационарных опытах на модуляции  $Q_z$  от наблюдаемого в этих же условиях на модуляциях  $Q_y$  и  $Q_x$  связано, очевидно, с невыявленными изменениями магнитной анизотропии и не противоречит, на наш взгляд, сделанному выше выводу, так как независимость предельного уровня объема в стационарных условиях от исходного состояния модуляций убедительно продемонстрирована в наиболее строгих измерениях при 270 К на двух разных объемах модуляции  $Q_x$ . Приближением к предельному уровню объема модуляции можно, очевидно, объяснить и наблюданное при  $H > 2.0$  Т стремление к насыщению на полевой зависимости объема модуляции в окрестностях 270 К, где, по-видимому, из-за наиболее резких искажений параметра кристаллической решетки вдоль вектора  $\mathbf{Q}_i$  с изменением температуры [6] проявляется также более высокая чувствительность доменной перестройки под влиянием магнитного поля.

Обнаруженные в [1] и в данной работе примерные равенства уровней частичного ( $1-Q$ )-состояния (до  $\approx 69\%$ ), формируемых с каждым из трех векторов  $\mathbf{Q}_i$  в районе 270 К после КМ-охлаждений от 295 К

и после нагревов в Н от 220 К, а также равенства более глубоких приближений к полному  $(1-Q)$ -состоянию (до  $\approx 81\%$ ), создаваемых КМ-охлаждениями от 295 до 230 К и нагревами в поле от 220 до 295 К, с одной стороны, дополнительно подтверждают (несмотря на критику в [8]) реальность радикальной доменной перестройки в процессе КМ-охлаждения, а с другой — однозначно свидетельствуют о том, что механизмы действия поля на магнитную структуру хрома при охлаждении и при нагреве в основном одинаковы, связаны с резкими изменениями искажений параметров кристаллической решетки в интервале 230–311 К [6] и магнитная анизотропия кристалла оказывает на них примерно равное влияние.

Необычно высокая чувствительность доменной структуры хрома к действию магнитного поля в интервале температур 222–295 К в определенном состоянии образца, создаваемом в процессе высокотемпературных отжигов, обусловлена предположительно [9] особым влиянием на температурные искажения параметров решетки кристаллических несовершенств, без определения типа и структуры которых дальнейшее обсуждение и изучение описанных выше эффектов будут, очевидно, затруднительными.

### Список литературы

- [1] Головкин В.С., Панченко В.Ю. ФТТ **33**, 12, 3561 (1991).
- [2] Левдик В.А. ЖЭТФ **95**, 5, 1784 (1989).
- [3] Головкин В.С., Быков В.Н., Левдик В.А. Письма в ЖЭТФ **14**, 6, 382 (1971); ФТТ **19**, 11, 3439 (1977).
- [4] Arrott A., Werner S.A., Kendrick H. Phys. Rev. Lett. **14**, 25, 1022 (1965).
- [5] Werner S.A., Arrott A., Kendrick H. Phys. Rev. **155**, 2, 528 (1967).
- [6] Steinitz W.O., Schwarts L.H., Marcus J.A., Fawcett E., Reed W.A. Phys. Rev. Lett. **23**, 17, 979 (1969).
- [7] Головкин В.С., Быков В.Н., Левдик В.А. ФТТ **20**, 4, 1141 (1978).
- [8] Fawcett E. Rev. Mod. Phys. **60**, 1, 209 (1988).
- [9] Головкин В.С., Панченко В.Ю. ЖЭТФ **100**, 5, 1654 (1991).